

Germanium PNP Transistor

AF127

HF Transistor

32V / 10mA

DATASHEET

OEM – Siemens

Source: Siemens Databook 1970/71

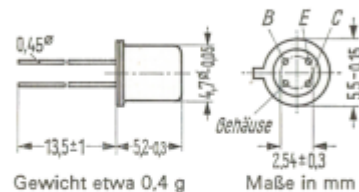
AF 124, AF 125, AF 126, AF 127

Nicht für Neuentwicklung

PNP-Hochfrequenz-Transistoren

AF 124, AF 125, AF 126 und AF 127 sind diffusionslegierte PNP-Germanium-Hochfrequenz-Transistoren im Gehäuse 18 A 4 DIN 41876 (TO-72). Die Anschlüsse sind vom Gehäuse elektrisch isoliert. Der Transistor AF 124 ist für die Verwendung in UKW-Vorstufen geeignet. AF 125 für UKW-Mischstufen sowie für Vor- und Mischstufen im KW-, MW- und LW-Bereich. AF 126 für ZF-Verstärker in AM-FM-Empfängern sowie für Vor- und Mischstufen im MW- und LW-Bereich. AF 127 für Vor- und Mischstufen im MW- u. LW-Bereich sowie für ZF-Verstärker in AM-Empfängern.

Typ	Bestellnummer
AF 124	Q60106-X124-A1
AF 125	Q60106-X125-A
AF 126	Q60106-X126-A
AF 127	Q60106-X127-A



Grenzdaten	AF 124, AF 125 AF 126, AF 127	
	Kollektor-Emitter-Spannung	$-U_{CER}$ 32 ¹⁾
Kollektor-Basis-Spannung	$-U_{CBO}$ 32	V
Emitter-Basis-Spannung	$-U_{EBO}$ 1	V
Kollektorstrom	$-I_C$ 10	mA
Emitterstrom	I_E 11	mA
Emitterstrom	$-I_E$ 1	mA
Basisstrom	$-I_B$ 1	mA
Sperrschichttemperatur	T_j 75 ¹⁾	°C
Lagertemperatur	T_s -55 bis + 75	°C
Gesamtverlustleistung	P_{tot} 60	mW

Wärmewiderstand

Kollektorsperrschicht – Luft	R_{thJU}	≤ 750	grd/W
Kollektorsperrschicht – Transistorgehäuse	R_{thJG}	≤ 400	grd/W

¹⁾ abhängig vom Verhältnis Z_B/Z_E (siehe Grenzkurve).

²⁾ Kurzzeitige Überschreitungen bis $T_j = 90^\circ\text{C}$ sind zugelassen (jedoch nicht als Betriebswert).

AF 124, AF 125, AF 126, AF 127

Statische Kenndaten ($T_U = 25\text{ °C}$)

Kollektor-Basis-Reststrom ($-U_{CBO} = 6\text{ V}$)	$-I_{CBO}$	1,2 (< 8)	μA
Kollektor-Basis-Durchbruchspannung ($I_{CBO} = 50\text{ μA}$)	$-U_{(BR)CBO}$	> 32	V
Emitter-Basis-Durchbruchspannung ($-I_{EBO} = 50\text{ μA}$)	$-U_{(BR)EBO}$	1,5 (> 1)	V

Für folgenden Arbeitspunkt gilt:

Typ	AF 124, AF 125, AF 126, AF 127			
$-U_{CE}$ V	I_E mA	$-I_B$ μA	$\frac{B}{I_C/I_B}$	$-U_{BE}$ V
6	1	7 (< 25)	140 (> 40)	0,27 (0,21 bis 0,33)

Dynamische Kenndaten ($T_U = 25\text{ °C}$) AF 124

Arbeitspunkt: ($I_E = 1\text{ mA}$; $-U_{CB} = 6\text{ V}$)

Transitfrequenz	f_T	75	MHz
Dynamische Stromverstärkung ($f = 1\text{ kHz}$)	β_o	150	-
Rauschmaß ($f = 100\text{ MHz}$; $R_G = 60\text{ Ω}$)	F	8 (< 9,5)	dB

Arbeitspunkt: ($I_E = 1\text{ mA}$; $-U_{CB} = 6\text{ V}$; $f = 100\text{ MHz}$)¹⁾

$g_{11b} = 15\text{ mS}$	$ y_{12b} = 0,45\text{ mS}$	$ y_{21b} = 16\text{ mS}$	$g_{22b} = 0,3\text{ mS}$
$-b_{11b} = 3,1\text{ mS}$	$-\varphi_{12b} = 110^\circ$	$\varphi_{21b} = 95^\circ$	$b_{22b} = 1,6\text{ mS}$
$C_{11b} = 5\text{ pF}$			$C_{22b} = 2,5\text{ pF}$

¹⁾ Die Werte sind mit 5 mm langen Anschlußdrähten gemessen.

AF 124, AF 125, AF 126, AF 127

Nicht für Neuentwicklung

Dynamische Kenndaten ($T_U = 25^\circ\text{C}$) AF 125

 Arbeitspunkt: ($-I_E = 1\text{ mA}$; $-U_{CB} = 6\text{ V}$; $f = 100\text{ MHz}$)¹⁾

$$\begin{array}{llll}
 g_{11b} = 15\text{ mS} & |y_{12b}| = 450\ \mu\text{S} & |y_{21b}| = 15\text{ mS} & g_{22b} = 0,35\text{ mS} \\
 -b_{11b} = 3,1\text{ mS} & -\varphi_{12b} = 110^\circ & \varphi_{21b} = 95^\circ & b_{22b} = 1,6\text{ mS}
 \end{array}$$

 Arbeitspunkt: ($-I_E = 1\text{ mA}$; $-U_{CE} = 6\text{ V}$; $f = 10,7\text{ MHz}$)

$$\begin{array}{llll}
 g_{11e} = 1,3\text{ mS} & |y_{12e}| = 80\ \mu\text{S} & |y_{21e}| = 34\text{ mS} & g_{22e} = 25\ \mu\text{S} \\
 b_{11e} = 4,4\text{ mS} & -\varphi_{12e} = 100^\circ & -\varphi_{21e} = 25^\circ & b_{22e} = 200\ \mu\text{S}
 \end{array}$$

 Arbeitspunkt: ($-I_E = 1\text{ mA}$; $-U_{CE} = 6\text{ V}$; $f = 450\text{ kHz}$)

$$\begin{array}{llll}
 g_{11e} = 250\ \mu\text{S} & |y_{12e}| = 4\ \mu\text{S} & |y_{21e}| = 37\text{ mS} & g_{22e} = 1\ \mu\text{S} \\
 b_{11e} = 200\ \mu\text{S} & -\varphi_{12e} = 90^\circ & \varphi_{21e} = 0 & b_{22e} = 11\ \mu\text{S}
 \end{array}$$

Dynamische Kenndaten ($T_U = 25^\circ\text{C}$) AF 126

 Arbeitspunkt: ($-I_E = 1\text{ mA}$; $-U_{CE} = 6\text{ V}$; $f = 10,7\text{ MHz}$)

$$\begin{array}{llll}
 g_{11e} = 1,7\text{ mS} & |y_{12e}| = 100\ \mu\text{S} & |y_{21e}| = 32\text{ mS} & g_{22e} = 40\ \mu\text{S} \\
 b_{11e} = 4,0\text{ mS} & -\varphi_{12e} = 100^\circ & -\varphi_{21e} = 25^\circ & b_{22e} = 235\ \mu\text{S}
 \end{array}$$

 Arbeitspunkt: ($-I_E = 1\text{ mA}$; $-U_{CE} = 6\text{ V}$; $f = 450\text{ kHz}$)

$$\begin{array}{llll}
 g_{11e} = 250\ \mu\text{S} & |y_{12e}| = 4\ \mu\text{S} & |y_{21e}| = 37\text{ mS} & g_{22e} = 1\ \mu\text{S} \\
 b_{11e} = 200\ \mu\text{S} & -\varphi_{12e} = 90^\circ & \varphi_{21e} = 0 & b_{22e} = 11\ \mu\text{S} \\
 & -C_{12e} = 1,5\text{ pF} & &
 \end{array}$$

Dynamische Kenndaten ($T_U = 25^\circ\text{C}$) AF 127

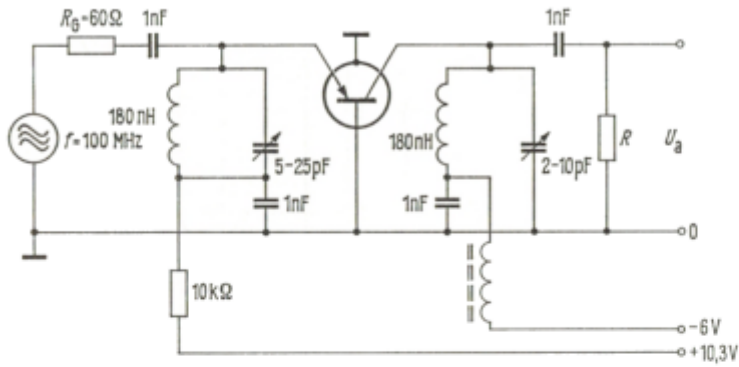
 Arbeitspunkt: ($-I_E = 1\text{ mA}$; $-U_{CE} = 6\text{ V}$; $f = 450\text{ kHz}$)

$$\begin{array}{llll}
 g_{11e} = 250\ \mu\text{S} & |y_{12e}| = 4\ \mu\text{S} & |y_{21e}| = 37\text{ mS} & g_{22e} = 1\ \mu\text{S} \\
 b_{11e} = 200\ \mu\text{S} & -\varphi_{12e} = 90^\circ & \varphi_{21e} = 0 & b_{22e} = 11\ \mu\text{S} \\
 & -C_{12e} = 1,5\text{ pF} & &
 \end{array}$$

¹⁾ Die Werte sind mit 5 mm langen Anschlußdrähten gemessen.

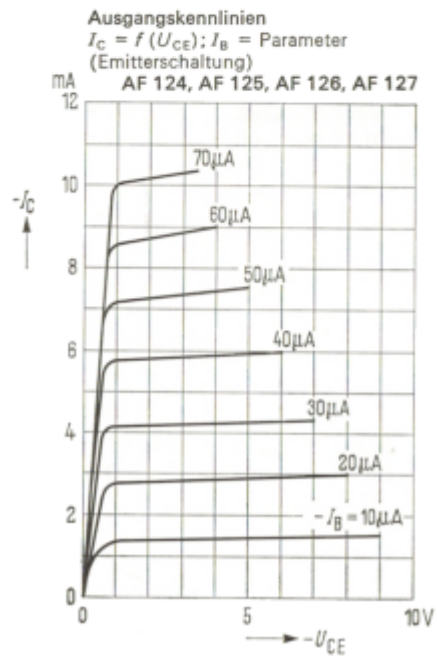
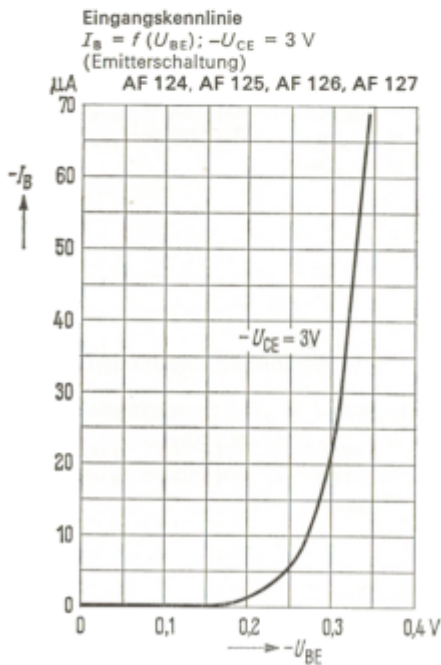
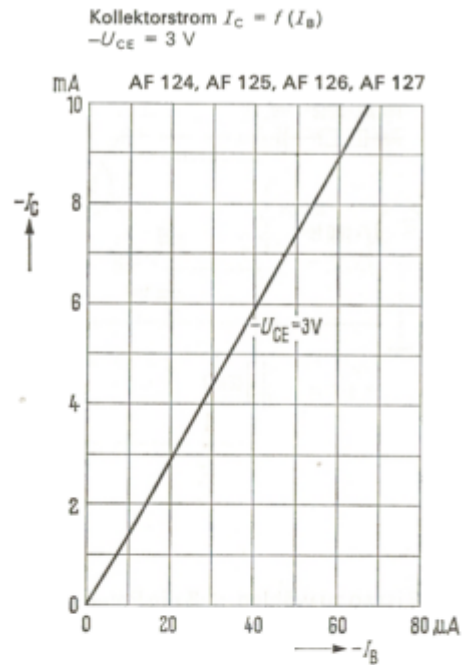
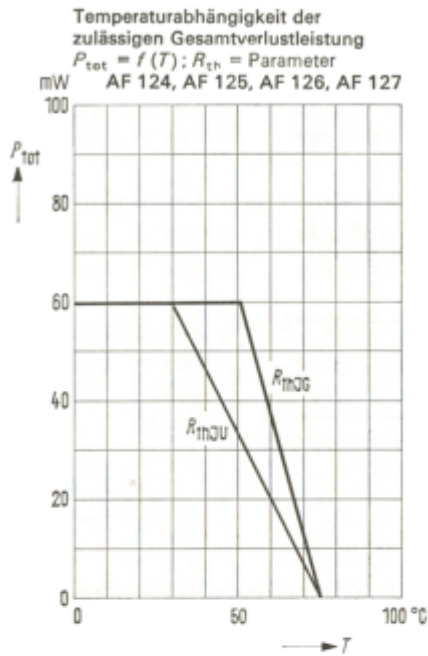
AF 124, AF 125, AF 126, AF 127

Meßschaltung für Leistungsverstärkung
 $V_{p0} = 14$ (> 12,5) dB bei $f = 100$ MHz



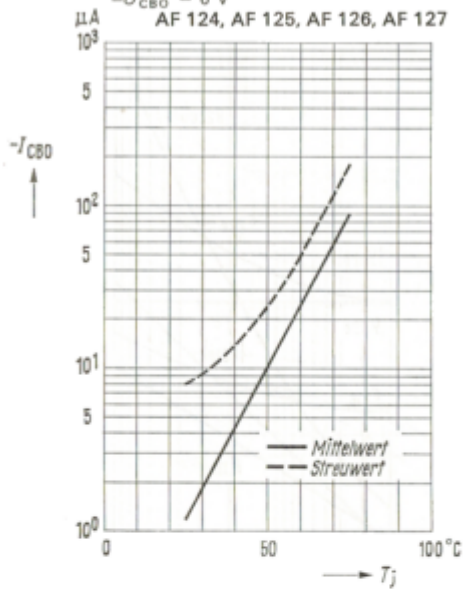
R ist so zu wählen, daß die Parallelschaltung von Schwingkreis und Wirkwiderstand R einen Lastwiderstand von $3,3$ k Ω ergibt.

AF 124, AF 125, AF 126, AF 127

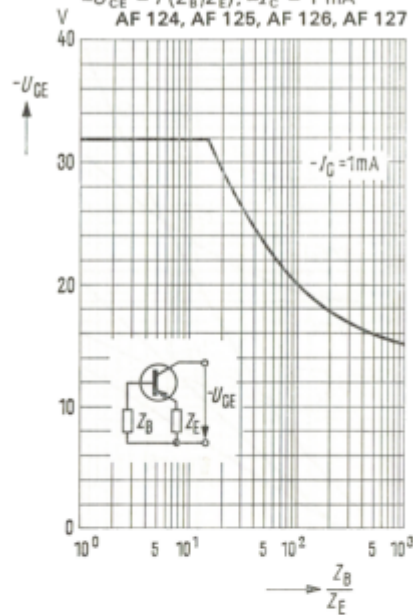


AF 124, AF 125, AF 126, AF 127

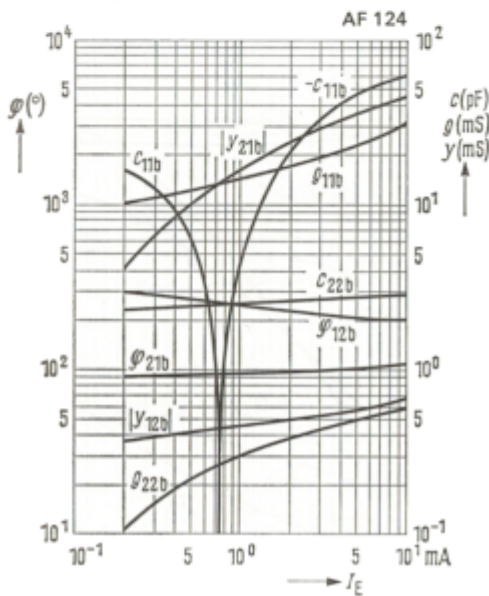
Temperaturabhängigkeit des Reststroms $I_{CBO} = f(T_j)$
 $-U_{CBO} = 6\text{ V}$
 AF 124, AF 125, AF 126, AF 127



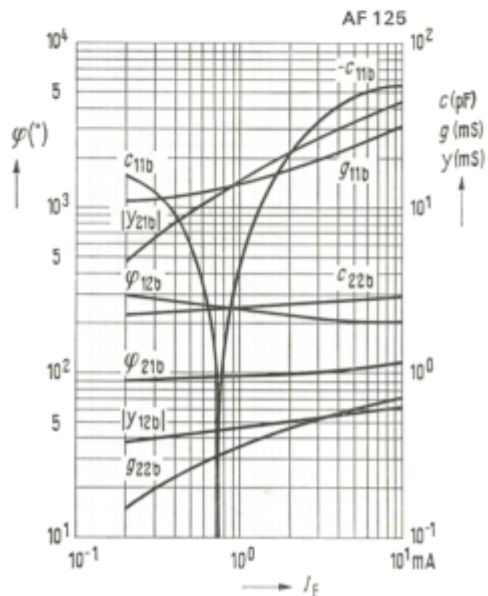
Kollektor-Emitter-Spannung (Grenzcurve)
 $-U_{CE} = f(Z_B/Z_E); -I_C = 1\text{ mA}$
 AF 124, AF 125, AF 126, AF 127



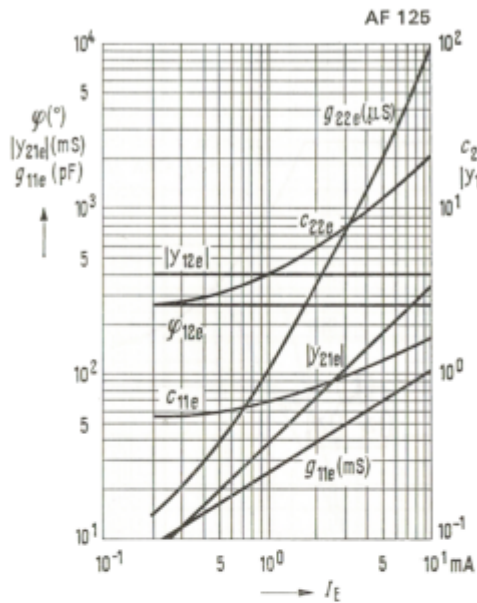
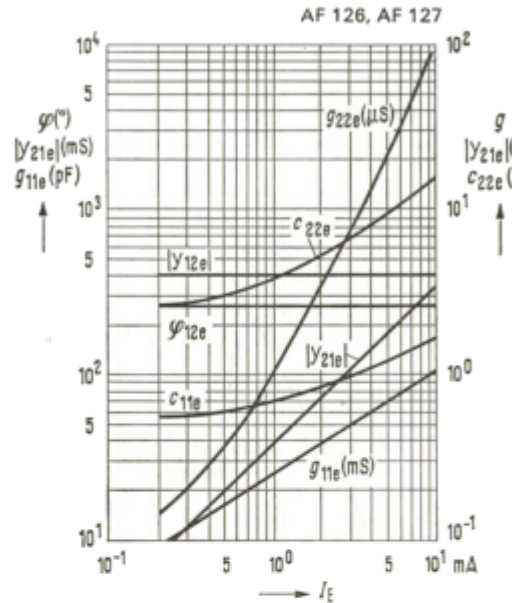
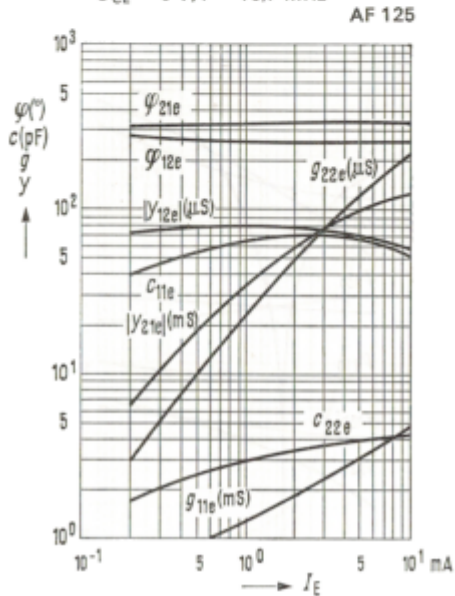
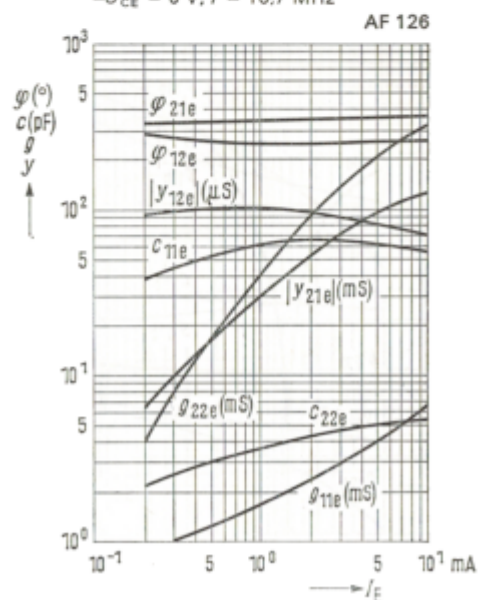
Stromabhängigkeit der y-Parameter
 $-U_{CB} = 6\text{ V}; f = 100\text{ MHz}$



Stromabhängigkeit der y-Parameter
 $-U_{CE} = 6\text{ V}; f = 100\text{ MHz}$

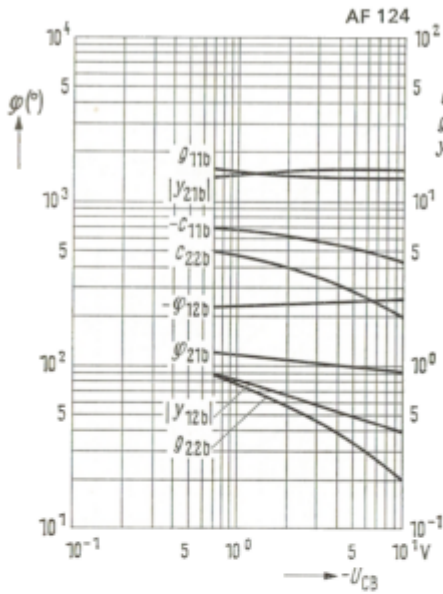


AF 124, AF 125, AF 126, AF 127

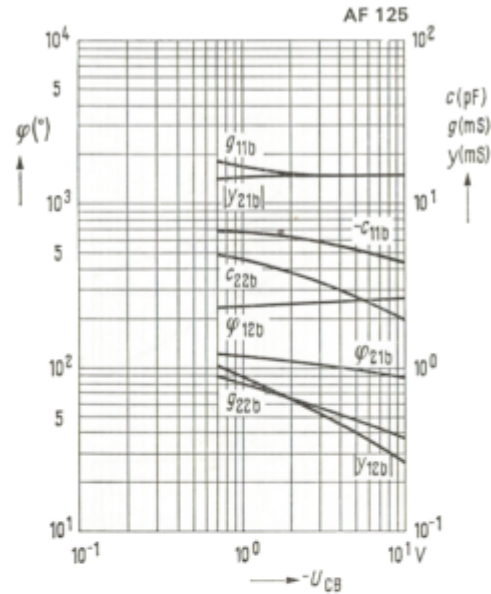
Stromabhängigkeit der y-Parameter
- $U_{CE} = 6\text{ V}$; $f = 0.45\text{ MHz}$ Stromabhängigkeit der y-Parameter
- $U_{CE} = 6\text{ V}$; $f = 0.45\text{ MHz}$ Stromabhängigkeit der y-Parameter
- $U_{CE} = 6\text{ V}$; $f = 10.7\text{ MHz}$ Stromabhängigkeit der y-Parameter
- $U_{CE} = 6\text{ V}$; $f = 10.7\text{ MHz}$ 

AF 124, AF 125, AF 126, AF 127

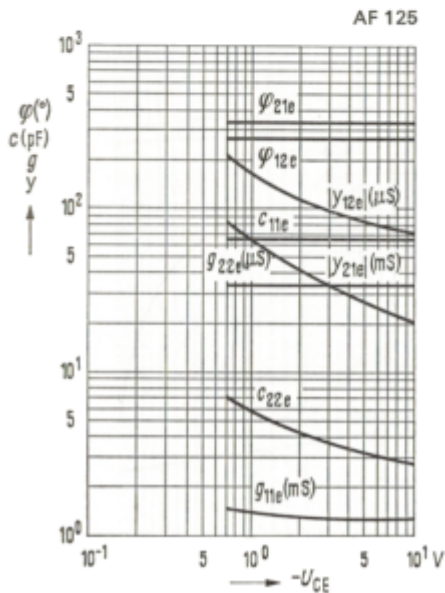
Spannungsabhängigkeit der y-Parameter
 $-I_C = 1 \text{ mA}; f = 100 \text{ MHz}$



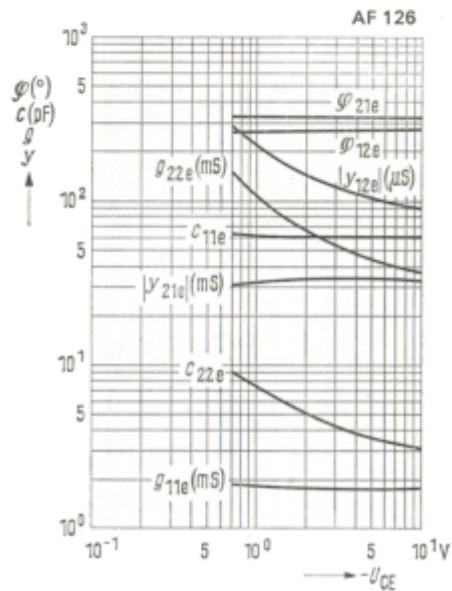
Spannungsabhängigkeit der y-Parameter
 $-I_C = 1 \text{ mA}; f = 100 \text{ MHz}$



Spannungsabhängigkeit der y-Parameter
 $-I_C = 1 \text{ mA}; f = 10,7 \text{ MHz}$

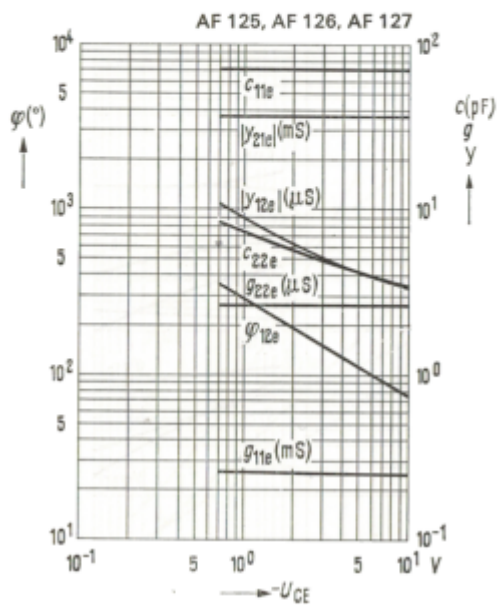


Spannungsabhängigkeit der y-Parameter
 $-I_C = 1 \text{ mA}; f = 10,7 \text{ MHz}$

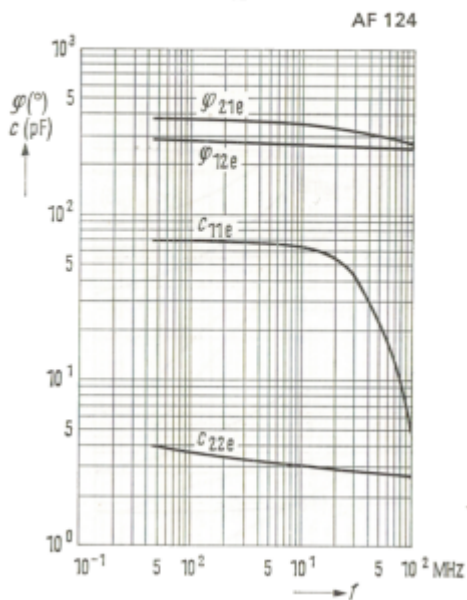


AF 124, AF 125, AF 126, AF 127

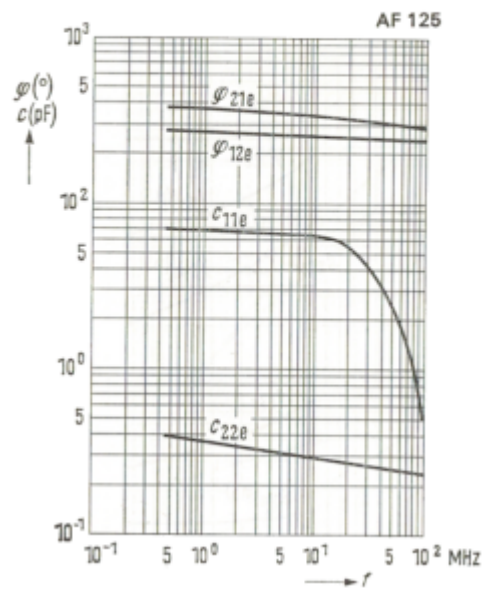
Spannungsabhängigkeit der y-Parameter
 $-I_C = 1 \text{ mA}; f = 0,45 \text{ MHz}$



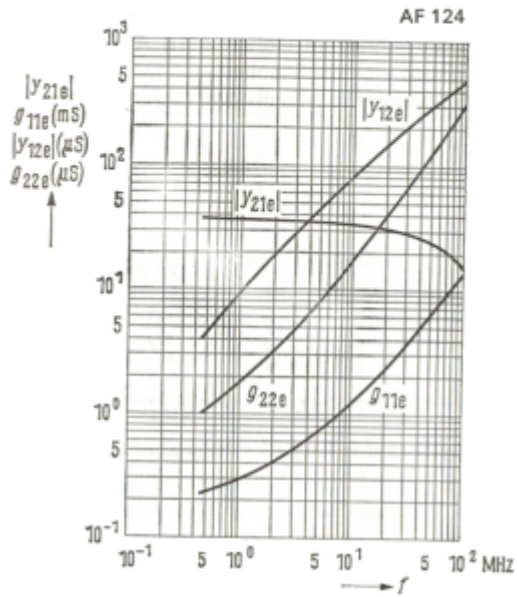
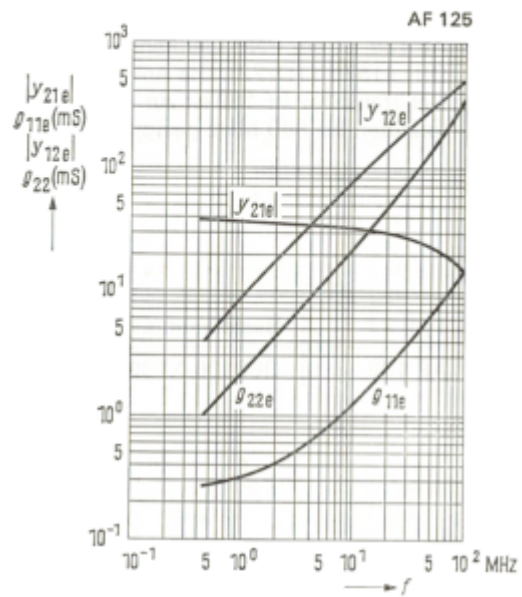
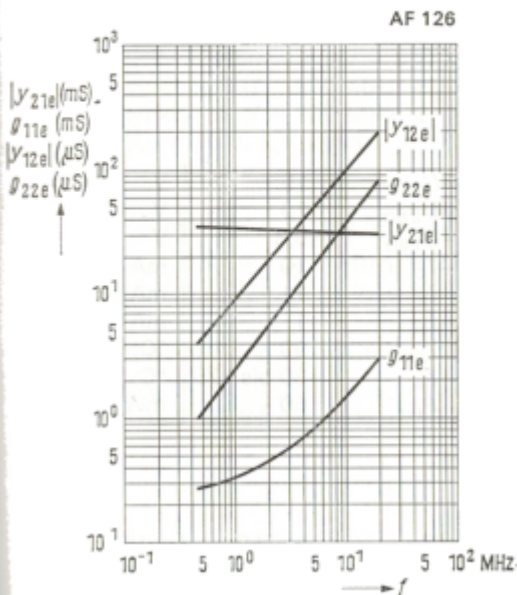
Frequenzabhängigkeit der y-Parameter
 $-I_C = 1 \text{ mA}; -U_{CE} = 6 \text{ V}$



Frequenzabhängigkeit der y-Parameter
 $-I_C = 1 \text{ mA}; -U_{CE} = 6 \text{ V}$



AF 124, AF 125, AF 126, AF 127

Frequenzabhängigkeit der y-Parameter
- $I_C = 1 \text{ mA}$; - $U_{CE} = 6 \text{ V}$ Frequenzabhängigkeit der y-Parameter
- $I_C = 1 \text{ mA}$; - $U_{CE} = 6 \text{ V}$ Frequenzabhängigkeit der y-Parameter
- $I_C = 1 \text{ mA}$; - $U_{CE} = 6 \text{ V}$ Frequenzabhängigkeit der y-Parameter
- $I_C = 1 \text{ mA}$; - $U_{CE} = 6 \text{ V}$ 